

Supercondutividade

O fenômeno da supercondutividade, observado em alguns metais tem a seguinte fisionomia:

- (i) Abaixo de uma temperatura crítica T_c , $\sigma \rightarrow \infty$, ou seja,

$$\vec{J} = \sigma \vec{E} \Rightarrow \vec{J} \neq 0 \text{ mas } \vec{E} = 0$$

De:

$$\vec{J} \times \vec{E} = - \frac{\partial \vec{B}}{\partial t} \text{ segue que } \vec{B} = \text{const.}$$

Assim, se resfriarmos um metal SC abaixo de T_c e aplicarmos um campo magnético, este ~~não~~ não penetrará a amostra

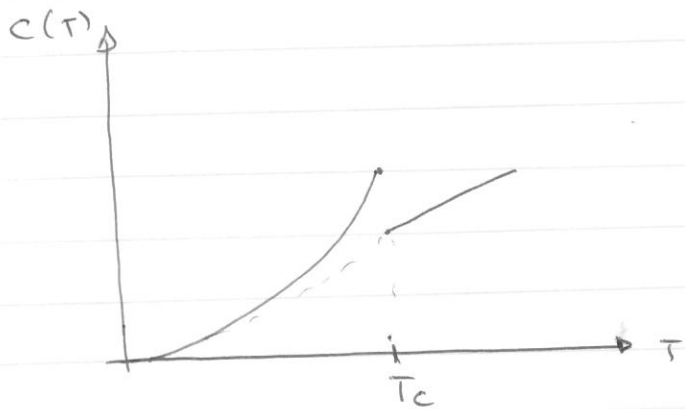
- (ii) Efeito Meissner-Ochsenfeld: Se aplicarmos o campo magnético acima de T_c e posteriormente resfriarmos o metal a uma temperatura $T < T_c$, na presença do campo, este será expulso do SC

$$\Rightarrow \boxed{\vec{B} = 0 \text{ se } T < T_c}$$

Essa, na realidade, é uma propriedade dos chamados SC's do tipo I. Para SC's do tipo II ela é válida para campos magnéticos suficientemente baixos.

iii) O calor específico apresenta um salto em T_c e decresce exponencialmente com a temperatura quando $T \rightarrow 0$:

$$C_s(T) \propto e^{-\frac{\Delta}{k_B T}} \quad T \rightarrow 0$$



"Presença de um gap para excitações eletrônicas"

(iv) Efeito isotópico: Se usarmos diferentes isotópos do mesmo elemento SC observamos que:

$$T_c \propto \frac{1}{\sqrt{M}}$$

Isto indica uma conexão entre a SC e a rede iônica.

FÔNONS

Vamos escrever, em forma segundo-quantizada, o hamiltoniano que descreve a dinâmica das vibrações da rede cristalina. Vamos assumir que os íons da rede ocupam as posições de equilíbrio $\vec{R}_i^{(0)}$ que formam uma rede ordenada (que, vamos assumir, por simplicidade, é uma rede de Bravais simples). A posição de cada íon é \vec{R}_i :

$$\vec{R}_i = \vec{R}_i^{(0)} + \vec{u}_i \quad |\vec{u}_i| \ll |\vec{R}_i^{(0)}|$$

ou

$$|\vec{u}_i| \ll a \Rightarrow \text{parâmetro de rede}$$

Como vamos assumir que os íons não se afastam muito de suas posições de equilíbrio, elas não têm "overlaps" apreciáveis e podem ser tratados como distinguíveis (não é necessário simetrizar a função de onda).

De maneira geral, o hamiltoniano dos íons é

$$H = \sum_{i=1}^N \frac{\vec{p}_i^2}{2M} + \frac{1}{2} \sum_{i \neq j} \alpha(\vec{R}_i - \vec{R}_j)$$

$\vec{x} = x_1 \hat{x}_1 \hat{y}_1 \hat{z}_1$; M = massa do íon e $\alpha(\vec{R})$ é o potencial de interação entre os íons.

Para pequenos desvios da posição de equilíbrio, podemos expandir o potencial de interação até a primeira ordem não-trivial que é a segunda ordem:

$$\nu(\vec{R}_i - \vec{R}_j) = \nu(\vec{R}_i^{(0)} - \vec{R}_j^{(0)} + \vec{u}_i - \vec{u}_j) \approx \nu(\vec{R}_i^{(0)} - \vec{R}_j^{(0)}) + \frac{1}{2} \frac{\partial^2 \nu}{\partial R_\alpha \partial R_\beta} \Big|_{\vec{R} = \vec{R}_i^{(0)} - \vec{R}_j^{(0)}} (\vec{u}_i - \vec{u}_j)(\vec{u}_i - \vec{u}_j)$$

onde o termo em primeira ordem é nulo por se tratar de posição de equilíbrio. O primeiro termo é uma constante que contribui para a energia de coesão do cristal mas não influencia a dinâmica dos íons. Portanto, não vamos escrever-lo:

$$H = \sum_{i,\alpha} \frac{\dot{P}_{i\alpha}^2}{2M} + \frac{1}{4} \sum_{\alpha \neq \beta} \frac{\partial^2 \nu}{\partial R_\alpha \partial R_\beta} \Big|_{\vec{R} = \vec{R}_i^{(0)} - \vec{R}_j^{(0)}} (\vec{u}_i^\alpha - \vec{u}_j^\alpha)(\vec{u}_i^\beta - \vec{u}_j^\beta)$$

$$= \sum_{i,\alpha} \frac{\dot{P}_{i\alpha}^2}{2M} + \frac{1}{2} \sum_{\substack{i \neq j \\ \alpha \neq \beta}} \vec{u}_i^\alpha C_{ij}^{\alpha\beta} \vec{u}_j^\beta$$

onde: $C_{ij}^{\alpha\beta} = \begin{cases} -\frac{\partial^2 \nu}{\partial R_\alpha \partial R_\beta} & i \neq j \\ \sum_{k \neq i} \frac{\partial^2 \nu}{\partial R_\alpha \partial R_\beta} & i = j \end{cases} \Big|_{\vec{R} = \vec{R}_i^{(0)} - \vec{R}_j^{(0)}}$

Note que $\sum_j C_{ij}^{\alpha\beta} = 0$. Isto é consequência da invariancia translacional do sistema pois, é evidente que $\vec{u}_i^\alpha \rightarrow \vec{u}_i^\alpha + \Delta^\alpha$, independente de \vec{R}_i ,

que corresponde a uma translacão rígida da rede, a energia de interacão entre os níios tem que ficar inalterada, ou seja é zero:

$$\sum_{\substack{ij \\ \alpha\beta}} \Delta^\alpha C_{ij}^{\alpha\beta} \Delta^\beta = 0 \Rightarrow \sum_{\alpha\beta} \Delta^\alpha \Delta^\beta \left[N \sum_j C_{ij}^{\alpha\beta} \right] = 0$$

Como Δ é um deslocamento arbitrário, segue que:

$$\sum_j C_{ij}^{\alpha\beta} = 0.$$

Mudamos agora para a base de funções de Bloch: ($N = \#$ de sites)

$$u_i^\alpha = \sum_k \frac{e^{-i\vec{k} \cdot \vec{R}_i}}{\sqrt{N}} u_k^\alpha$$

$$u_k^\alpha = \sum_i \frac{e^{i\vec{k} \cdot \vec{R}_i}}{\sqrt{N}} u_i^\alpha$$

$$p_i^\alpha = \sum_k \frac{e^{-i\vec{k} \cdot \vec{R}_i}}{\sqrt{N}} p_k^\alpha$$

$$p_k^\alpha = \sum_i \frac{e^{i\vec{k} \cdot \vec{R}_i}}{\sqrt{N}} p_i^\alpha$$

$$\Rightarrow [u_{k'}^\alpha, p_{k''}^{\beta}] = i \delta_{\alpha\beta} \delta_{k', -k''}$$

Note que $u_k^{\alpha+} = u_{-k}^\alpha$ e $p_k^{\alpha+} = p_{-k}^\alpha$. Substituindo no Hamiltoniano:

$$H = \frac{1}{2M} \sum_{k\alpha} p_{-k}^\alpha p_k^\alpha + \frac{1}{2} \sum_{\alpha\beta} \sum_k u_{-k}^\alpha c^{\alpha\beta}(\vec{k}) u_k^\beta$$

onde:

$$c^{\alpha\beta}(\vec{k}) = \sum_j e^{i\vec{k} \cdot \vec{R}_j} c_{0j}^{\alpha\beta} = c^{\alpha\beta}(-\vec{k})$$

Podemos também escrever:

$$H = \frac{1}{2M} \sum_{k\alpha} p_k^{\alpha+} p_k^\alpha + \frac{1}{2} \sum_{\alpha\beta} \sum_k u_k^{\alpha+} c^{\alpha\beta}(\vec{k}) u_k^\beta$$

$$[u_{k'}^{\alpha+}, p_{k''}^{\beta}] = i \delta_{\alpha\beta} \delta_{k', -k''}, \text{ etc.}$$

que é um conjunto de osciladores harmônicos "complexos".

Da expressão anterior de $C_{ij}^{\alpha\beta}$:

$$C_{ij}^{\alpha\beta}(\vec{k}) = \sum_{j \neq 0} e^{i\vec{k} \cdot \vec{R}_j} \left(-\frac{\partial^2 \alpha}{\partial R_\alpha \partial R_\beta} \Big|_{\vec{R}=\vec{R}_0^{(0)}-\vec{R}_j^{(0)}} \right) +$$

$$+ \sum_{j \neq 0} \frac{\partial^2 \alpha}{\partial R_\alpha \partial R_\beta} \Big|_{\vec{R}=\vec{R}_0^{(0)}-\vec{R}_j^{(0)}}$$

$$= \sum_{j \neq 0} \left(1 - e^{i\vec{k} \cdot \vec{R}_j} \right) \frac{\partial^2 \alpha}{\partial R_\alpha \partial R_\beta} \Big|_{\vec{R}=\vec{R}_0^{(0)}-\vec{R}_j^{(0)}}$$

$$\text{Se } \vec{k} \approx 0 \Rightarrow (1 - e^{i\vec{k} \cdot \vec{R}_j}) \approx -i\vec{k} \cdot \sum_{j \neq 0} \vec{R}_j \frac{\partial^2 \alpha}{\partial R_\alpha \partial R_\beta} \Big|_{\vec{R}=\vec{R}_0^{(0)}-\vec{R}_j^{(0)}}$$

$$+ \frac{k_F k_B}{2} \sum_{j \neq 0} R_j^x R_j^y \frac{\partial^2 \alpha}{\partial R_\alpha \partial R_\beta} + \dots$$

Se $\alpha(\vec{R})$ é de alcance suficientemente curto, as séries acima convergem

$$\lim_{k \rightarrow 0} C_{ij}^{\alpha\beta}(\vec{k}) = 0$$

Como já vimos antes, isso é consequência do teorema de Goldstone, que diz que quando há quebra espontânea de uma simetria contínua (no caso, simetria translacional) sempre aparecem novos espectros, bósons com dispersão que vai a zero $E(\vec{k}) = 0$, desde que as interações sejam de curto alcance.

$C_s^{\alpha\beta}(\vec{k})$ é uma matriz simétrica (porque):
 Portanto, pode ser diagonalizada por uma transformação ortogonal e os autovetores ~~que~~ podem ser escolhidos como ortogonais.

$$C^{\alpha\beta}(\vec{k}) E_s^\alpha(\vec{k}) = M\omega_s^2(\vec{k}) E_s^\alpha(\vec{k})$$

$$\sum_s E_{s'}^{*\alpha}(\vec{k}) E_s^\alpha(\vec{k}) = \delta_{s,s'} \quad \text{e} \quad \sum_s E_s^{*\alpha}(\vec{k}) E_s^\beta(\vec{k}) = \delta_{\alpha\beta}$$

onde $s=1, 2, 3$ corresponde às diferentes polarizações.

Num cristal isotrópico, podemos escolher $E_s(\vec{k})$ de forma que um deles ($s=1$, p-ex.) seja $\parallel \vec{k}$ e os outros dois sejam $\perp \vec{k}$ ($s=2, 3$). Nesse caso, $s=1$ corresponde a um modo longitudinal e $s=2, 3$ a modo transversal. Se o cristal não é isotrópico, frequentemente podem classificar os modos da mesma forma, de maneira aproximada.

Se a rede de Bravais tem uma base, haverá modos adicionais que correspondem às vibrações internas na célula unitária. Esses modos, chamados de ~~modos~~ óticos, terão dispersões $E_s(\vec{k})$ tais que $E_s(\vec{k}) \xrightarrow[k \rightarrow 0]{} \text{const.}$, pois não são bosons de Goldstone.

Podemos agora trabalhar na base $\vec{E}_s(\vec{k})$
as invariáveis x, y, z :

$$U_k^\alpha = \sum_s U_k^s E_s^\alpha(\vec{k}) \quad U_k^s = \sum_\alpha U_k^\alpha E_s^{\alpha*}(\vec{k})$$

$$P_k^\alpha = \sum_s P_k^s E_s^\alpha(\vec{k}) \quad P_k^s = \sum_\alpha P_k^\alpha E_s^{\alpha*}(\vec{k})$$

$$\Rightarrow \sum_{\substack{k \\ \alpha, \beta}} U_k^{\alpha+} C^{\alpha\beta}(\vec{k}) U_k^\beta = \sum_{\substack{k \\ \alpha, \beta \\ n, s}} U_k^{n+} E_n^{\alpha*}(\vec{k}) C^{\alpha\beta}(\vec{k}) U_k^s E_s^\beta(\vec{k})$$

$$= \sum_{\substack{k \\ \alpha \\ n, s}} M U_k^{n+} E_n^{\alpha*}(\vec{k}) U_k^s \omega_s^2(\vec{k}) E_s^\alpha(\vec{k})$$

$$= \sum_{k, s} M U_k^{s+} U_k^s \omega_s^2(\vec{k})$$

$$\Rightarrow H = \frac{1}{2M} \sum_{k, s} P_{ks}^+ P_{ks} + \frac{1}{2} \sum_{k, s} M \omega_s^2(\vec{k}) U_k^{s+} U_k^s$$

Por analogia com o oscilador harmônico:

$$U_k^s = \frac{1}{\sqrt{2M\omega_s(\vec{k})}} (a_{ks} + a_{ks}^+)$$

$$P_{ks} = \sqrt{\frac{M\omega_s(\vec{k})}{2}} \frac{(a_{ks} - a_{ks}^+)}{i}$$

$$\Rightarrow H = \sum_{\mathbf{k}s} \omega_s(\mathbf{k}) [a_{\mathbf{ks}}^+ a_{\mathbf{ks}} + \frac{1}{2}]$$

que tem espectro conhecido.

Não nos interessa, nesse ponto, explorar esse hamiltoniano, que é essencialmente livre. Vamos agora escrever o hamiltoniano de interacção dos fôons com os elétrons. Para isso, além dos hamiltonianos dos fôons livres e dos elétrons interagentes, precisamos nos concentrar nos termos que descrevem a interacção da rede cristalina com os elétrons.

$$H_{e-R} = \sum_{ij} \tilde{V}(\vec{r}_i - \vec{R}_j)$$

onde \vec{r}_i é a coordenada do elétron e \vec{R}_j a do íon.

Da mesma forma como fizemos anteriormente, expandimos em torno da posição de equilíbrio até a primeira ordem não trivial:

$$\tilde{V}(\vec{r}_i - \vec{R}_j) = \tilde{V}(\vec{r}_i - \vec{R}_j^{(0)} - \vec{u}_j) =$$

$$\approx \tilde{V}(\vec{r}_i - \vec{R}_j^{(0)}) - \vec{u}_j \cdot \vec{\nabla} \tilde{V}(\vec{r}) \quad \left|_{\vec{r} = \vec{r}_i - \vec{R}_j^{(0)}} \right. + O(u^2)$$

O primeiro termo acima:

$$H_{e-R}^0 = \sum_{ij} \vec{V}(\vec{r}_i - \vec{R}_j^{(0)})$$

é simplesmente o potencial da rede cristalina ESTÁTICA. A solução do problema de um corpo, do movimento dos elétrons nesse potencial (sem a interação eletro-eletro ou no máximo com ela incluída a nível de Hartree-Fock no potencial acima) é que dá origem às funções de Bloch, estrutura de bandas, etc. Vamos supor, como sempre, que esse problema já foi resolvido.

O próximo termo é:

$$H_{e-ph} = - \sum_{ij} \vec{u}_j \cdot \vec{\nabla} \vec{V}(\vec{r}_i - \vec{R}_j)$$

onde já pusemos a dependência com a configuração $\vec{r}_i - \vec{R}_j$ explicitamente, por simplicidade. Esse termo depende das variáveis dinâmicas dos fôons (\vec{u}_j) e dos elétrons (\vec{r}_i), portanto é do tipo procurado. Noso objetivo agora é escrevê-lo de forma segundo-quantizada conveniente.

Para tal, possuímos o espaço recíproco

$$\tilde{V}(\vec{\pi}) = V \int \frac{d^3 q}{(2\pi)^3} e^{-i\vec{q} \cdot \vec{\pi}} v(\vec{q})$$

$$\vec{\nabla} \tilde{V}(\vec{\pi}) = -i V \int \frac{d^3 q}{(2\pi)^3} \vec{q} e^{-i\vec{q} \cdot \vec{\pi}} v(\vec{q})$$

$$\Rightarrow H_{e-ph} = +i V \sum_{ij} \vec{u}_j \cdot \int \frac{d^3 q}{(2\pi)^3} \vec{q} v(\vec{q}) e^{-i\vec{q} \cdot (\vec{\pi}_i - \vec{R}_j^{(i)})}$$

$$= +i V \int \frac{d^3 q}{(2\pi)^3} v(\vec{q}) \vec{q} \cdot \left[\sum_{ij} e^{-i\vec{q} \cdot \vec{\pi}_i} \underbrace{\sum_j \vec{u}_j e^{i\vec{q} \cdot \vec{R}_j^{(i)}}}_{\sqrt{N} \vec{u}_{+\vec{q}}} \right]$$

$$= +i \sqrt{N} V \sum_i \int \frac{d^3 q}{(2\pi)^3} e^{-i\vec{q} \cdot \vec{\pi}_i} v(\vec{q}) \vec{q} \cdot \vec{u}_{+\vec{q}}$$

Como visto anteriormente:

$$\vec{u}_{+\vec{q}} = \sum_s u_{+\vec{q}}^s \vec{E}_s(\vec{q}) = \sum_s \frac{1}{\sqrt{2M\omega_s(\vec{q})}} (a_{+qs} + a_{-qs}^\dagger) \vec{E}_s(\vec{q})$$

Além disso,

$$V \int \frac{d^3 q}{(2\pi)^3} f(\vec{q}) = \sum_{\vec{k}} f(\vec{q} + \vec{k})$$

Onde a soma sobre \vec{q} , que era sobre todos os valores possíveis, passa a ser escrita como uma soma sobre \vec{q} na 1^a zona de Brillouin e uma soma sobre os vetores \vec{k} da rede recíproca:

$$H_{e-ph} = i\sqrt{N} \sum_i \sum_{\vec{k}\vec{q}} e^{-i(\vec{q}+\vec{k}) \cdot \vec{r}_i} V(\vec{q}+\vec{k})(\vec{q}+\vec{k}) \cdot \sum_s \frac{\vec{E}_s(\vec{q})}{\sqrt{2m\omega_s(\vec{q})}} (a_{qs} + a_{qs}^\dagger)$$

já que os operadores $a_{q+k} = a_q$ e $\omega_s(\vec{q}+\vec{k}) = \omega_s(\vec{q})$, etc.

Podemos agora escrever

$$\begin{aligned} \sum_i e^{-i(\vec{q}+\vec{k}) \cdot \vec{r}_i} &= \int d^3r \sum_i \delta(\vec{r} - \vec{r}_i) e^{-i(\vec{q}+\vec{k}) \cdot \vec{r}} \\ &= \int d^3r \hat{s}(\vec{r}) e^{-i(\vec{q}+\vec{k}) \cdot \vec{r}} \end{aligned}$$

Onde usamos a definição do operador densidade:

$$\hat{s}(\vec{r}) = \sum_i \delta(\vec{r} - \vec{r}_i)$$

O operador densidade, em forma segundona - quantizada, pode ser escrito de diversas formas, dependendo de que base de \mathcal{H} se usa. Para elétrons livres, as bases mais comuns são $\{| \vec{r} \rangle\}$ e $\{| \vec{k} \rangle\}$. Como $\{| \vec{r} \rangle\}$ é a base que diagonaliza $\hat{s}(\vec{r})$ é fácil escrevê-lo em termos dos operadores de campo:

$$\text{Em } \mathcal{H}: \hat{s}(\vec{r}_0) | \vec{r} \rangle = \delta(\vec{r}_0 - \vec{r}) | \vec{r} \rangle = \delta(\vec{r}_0 - \vec{r}) | \vec{r} \rangle$$

Loop, em \mathcal{K}_N :

$$\hat{s}(\vec{r}_0) = \int d^3r \delta(\vec{r}_0 - \vec{r}) \psi^+(\vec{r}) \psi(\vec{r}) = \psi^+(\vec{r}_0) \psi(\vec{r}_0)$$

$$\Rightarrow \boxed{\hat{s}(\vec{r}) = \psi^+(\vec{r}) \psi(\vec{r})}$$

* Não esquecer que $\psi(\vec{r})$ e $\psi^+(\vec{r})$ são operadores de campo, não a função de onda.

Analogamente, de:

$$\psi^+(\vec{r}) = \sum_{\vec{k}} \frac{e^{-i\vec{k}\cdot\vec{r}}}{\sqrt{V}} c_{\vec{k}}^+, \text{ etc.}$$

$$\Rightarrow \hat{s}(\vec{r}) = \frac{1}{V} \sum_{\vec{k}\vec{p}} e^{-i(\vec{k}-\vec{p})\cdot\vec{r}} c_{\vec{k}}^+ c_{\vec{p}}$$

$$\Rightarrow \boxed{\hat{s}(\vec{q}) = \int d^3r e^{-i\vec{q}\cdot\vec{r}} \hat{s}(\vec{r}) = \sum_{\vec{k}} c_{\vec{k}-\vec{q}}^+ c_{\vec{k}}}$$

Caso se deseje trabalhar em um sistema com apenas uma banda ativa, como no modelo de Holborn (Note que isso é inviavelmente uma aproximação em que se desprezam transições inter-bandas), nesse caso a densidade é definida na escala do parâmetro de rede (ou, em outras palavras, da célula unitária)

$$\boxed{s(\vec{R}_i) = s_i = c_i^+ c_i = n_i}$$

Analogamente:

$$S(\vec{q}) = \sum_i e^{i\vec{q} \cdot \vec{k}_i} s_i = \sum_{\vec{k}} c_{\vec{k}+\vec{q}}^+ c_{\vec{k}}$$

Onde os vetores \vec{q}, \vec{k}_i etc. agora se restringem à zona de Brillouin.

Portanto, para o caso de elétrons livres:

$$H_{e-ph} = i\sqrt{N} \sum_{\substack{\vec{q} \vec{K} \\ \vec{k}}} c_{\vec{k}-\vec{q}-\vec{K}}^+ c_{\vec{k}} V(\vec{q} + \vec{K}) \sum_s \frac{(\vec{q} + \vec{K}) \cdot \vec{E}_s(\vec{q})}{\sqrt{2M\omega_s(\vec{q})}} (a_{\vec{q},s} + a_{-\vec{q},s}^+)$$

A soma sobre \vec{K} dá origem a processos Umklapp, que usualmente podem ser desprezados. Fazendo esse tipo de simplificação ($\vec{K} = \vec{0}$):

$$H_{e-ph} = \sum_{\vec{k} \vec{q}} M_{\vec{q}} c_{\vec{k}-\vec{q}}^+ c_{\vec{k}\sigma} (a_{\vec{q},\sigma} + a_{-\vec{q},\sigma}^+)$$

Onde $M_{\vec{q}} = i\sqrt{N} V(\vec{q}) \vec{q} \cdot \vec{E}_s(\vec{q}) / \sqrt{2M\omega_s(\vec{q})}$ e recuperamos o índice

de spin σ nos operadores de elétrons (é óbvio que a discussão anterior é independente do spin).

Pictoricamente, podemos representar os processos de interacção elétron-fóton como:



O elétron é espalhado de \vec{k} para $\vec{k} - \vec{q}$, ao mesmo tempo que um fóton de momentum \vec{q} é destruído ou um de momentum $-\vec{q}$ é criado, cada processo tendo amplitude \vec{q} .

Vale salientar também que termos de orden superior na expansão de $v(\vec{R}_i - \vec{R}_j)$ (interacção ión-ión) e de $\tilde{V}(\vec{r}_i - \vec{R}_j)$ (interacção elétron-rede cristalina) geram termos de orden superior. Por exemplo:

$$V_{\text{anis}} = \sum_{kq} C^{\alpha\beta\gamma}(\vec{k}, \vec{q}) u_k^\alpha u_q^\beta u_{-k-q}^\gamma + O(u^4)$$

que são termos anámonicos e geram interacções entre fótons e:

$$V'_{e-ph} = \sum_{k k' q} (c_{k+q, \sigma}^+ c_{k', \sigma}^-) (a_{q, \sigma}^+ + a_{-q, \sigma}^-) (a_{k-k', n}^+ + a_{k'-k, n}^+) M(kk')$$

etc.

Vamos fazer algumas estimativas:

- $\omega_s(\vec{q})$: Como no oscilador harmônico

$$\omega_s(\vec{q}) \sim \sqrt{\frac{k}{M}} \quad \text{onde } k \propto \frac{\partial^2 \phi}{\partial r^2}$$

Como ϕ é da ordem da energia de coesão dos cristais
 $\sim eV \sim E_F$ (energias atômicas típicas). Assumindo
que ϕ varia com R na escala atômica (a_0) segue que

$$\omega_s \sim \sqrt{\frac{E_F}{a_0^2 M}} \sim \sqrt{\frac{m}{M}} \quad E_F \sim 10^{-2} E_F$$

Uma parametrização frequentemente usada para fôrmas
é super (ver Ashcroft + Mermin: "Solid State Physics")

$$\omega_s(\vec{q}) \sim c q \quad \text{até } q = q_D \sim \frac{1}{a_0} \quad \text{e } \frac{c}{a_0} \sim \omega_D =$$

= frequência de Doba

$$\Rightarrow \boxed{\frac{\omega_D}{E_F} \sim 10^{-2}} \quad \text{que é um número pequeno}$$

$$\bullet M_q : \quad M_q \sim V q u$$

$V \sim$ energias elétromagnéticas $\sim E_F$

$$\left. \begin{aligned} q &\sim \frac{1}{a_0} \\ u &\sim \frac{1}{\sqrt{M\omega_0}} \end{aligned} \right\} (uq)^2 \sim \frac{1}{Ma_0^2\omega_0} \sim \frac{m}{M} \frac{E_F}{\omega_0} \sim \sqrt{\frac{m}{M}}$$

$$\Rightarrow M_q \sim \left(\frac{m}{M} \right)^{1/4} E_F \sim 10^{-1} E_F$$

que ainda é um parâmetro razoavelmente pequeno

\Rightarrow Teoria de perturbação em M_q no problema elétron-fôton

Vamos agora investigar algumas processos virtuais (teoria de perturbação em 2ª ordem) que envolvem estados intermediários ~~entre~~ com criação e aniquilação de fôons. Queremos estudar processos em que, fisicamente, um elétron distorce a rede (cria ou aniquila um fôon) e um outro elétron é espalhado por essa distorção. Nossa discussão será bastante qualitativa.

Suponhamos que o estado inicial tem elétron em estados \vec{k}_1, \vec{k}_2 e que no estado final eles acabem em $\vec{k}'_1 = \vec{k}_1 + \vec{q}$ e $\vec{k}'_2 = \vec{k}_2 - \vec{q}$, onde \vec{q} é o momento transferido. Se as transições são provocadas pela interação e-ph temos duas possibilidades:

	Inicial	Intermediário	Final
$e^-:$	\vec{k}_1	$\vec{k}'_1 = \vec{k}_1 + \vec{q}$	$\vec{k}_2 + \vec{q}$
$e^-:$	\vec{k}_2	\vec{k}_2	$\vec{k}_2 - \vec{q}$
$ph:$	-	\vec{q}	-
<u><u>$ou:$</u></u>	- - - - -	- - - - -	- - - - -
$e^-:$	\vec{k}_1	\vec{k}_1	$\vec{k}_1 + \vec{q}$
$e^-:$	\vec{k}_2	$\vec{k}'_2 = \vec{k}_2 - \vec{q}$	$\vec{k}_2 - \vec{q}$
$ph:$	-	\vec{q}	-

Os elementos de matriz são M_q e M_q^* . Os denominadores de energia são:

$$E_0 - E_n = \epsilon_1 + \epsilon_2 - (\epsilon'_1 + \epsilon'_2 + \omega_s(\vec{q})) = \epsilon_1 - \epsilon'_1 - \omega_s(\vec{q})$$

ou

$$= \epsilon_1 + \epsilon_2 - (\epsilon_1 + \epsilon'_2 + \omega_s(\vec{q})) = \epsilon_2 - \epsilon'_2 - \omega_s(\vec{q})$$

onde $\epsilon_1 = \epsilon_{\alpha_1}$; $\epsilon'_1 = \epsilon_{\alpha'_1}$, etc. Por conservação de energia:

$$\epsilon_1 + \epsilon_2 = \epsilon'_1 + \epsilon'_2 \Rightarrow \epsilon_1 - \epsilon'_1 = (\epsilon_2 - \epsilon'_2) = \Delta$$

$$\Rightarrow E_0 - E_n = \Delta - \omega_s(\vec{q})$$

ou

$$= -\Delta - \omega_s(\vec{q})$$

$$\Rightarrow \boxed{E^{(2)} \sim \frac{|M_q|^2}{\pm \Delta - \omega_s(\vec{q})}}$$

Para elétrons próximos à superfície de Fermi $\Delta \approx 0$ e

$$E^{(2)} \sim -\frac{|M_q|^2}{\omega_s(\vec{q})} \sim -\frac{|M_q|^2}{\omega_D}$$

Uma análise mais detalhada mostra que a interação efetiva entre os elétrons, mediada por fône tem as seguintes características:

(i) $\Delta E_{\text{eff}}^{\text{e-ph}} < 0$ para elétrons com energias numa fina camada de largura $\sim \omega_0$ em torno da energia de Fermi

$\Delta E_{\text{eff}}^{\text{e-ph}} > 0$ para e⁻'s fora dessa camada

$$(ii) |\Delta E_{\text{eff}}^{\text{e-ph}}| \sim \frac{(Mg)^2}{\omega_0} \sim \left(\frac{m}{M}\right)^{1/2} \frac{E_F^2}{\omega_0} \sim E_F$$

dentro dessa fina camada.

Apesar da natureza qualitativa da discussão, a conclusão principal é que dentro da camada de largura ω_0 a interacção efectiva mediada por fôtons é atractiva. Veremos mais adiante que esse carácter atrativo e localizado em energias da interacção leva a um a instabilidade do estado fundamental do sistema atómico, que sofre um reordenamento dramático e entra num ESTADO SUPERCONDUTOR.

Os supercondutores convencionais, de baixa T_c ($T_c \leq 30\text{ K}$) são supercondutores devido à ~~esse~~ mecanismo. Acredita-se que os SC's de alta T_c ($T_c > 35\text{ K}$) não sejam desse tipo (mediados por fôtons) mas a natureza do estado supercondutor nesses compostos é ainda um problema aberto.

A função de Green do campo $\hat{\varphi}(\vec{n})$ pode ser calculada:

$$iD^{(0)}(x_1, x_2) = \langle T [\hat{\varphi}_H(\vec{n}_1, t_1) \hat{\varphi}_H(\vec{n}_2, t_2)] \rangle$$

$$\hat{\varphi}_H(\vec{n}, t) = \frac{i}{\sqrt{2V}} \sum_{\vec{k}} \sqrt{ck} (b_{\vec{k}} e^{i\vec{k} \cdot \vec{n} - ickt} - b_{\vec{k}}^+ e^{-i(\vec{k} \cdot \vec{n} - ck)t})$$

$$iD^{(0)}(x_1, x_2) = \begin{cases} \frac{1}{2V} \sum_{\vec{k}} ck e^{i[\vec{k} \cdot (\vec{n}_1 - \vec{n}_2) - ck(t_1 - t_2)]} & t_1 > t_2 \\ \frac{1}{2V} \sum_{\vec{k}} ck e^{-i[\vec{k} \cdot (\vec{n}_1 - \vec{n}_2) - ck(t_1 - t_2)]} & t_1 < t_2 \end{cases}$$

$$iD^{(0)}(\vec{q}, \omega) = \int d^3(\vec{n}_1 - \vec{n}_2) \delta(t_1 - t_2) iD^{(0)}(x_1 - x_2) e^{-i\vec{q} \cdot (\vec{n}_1 - \vec{n}_2)} e^{i\omega(t_1 - t_2)}$$

$$= \frac{1}{2V} \sum_{\vec{k}} ck \left[\underbrace{\int_{-\infty}^{\infty} dt e^{i(\vec{k} - \vec{q}) \cdot \vec{n}}}_{\sqrt{\delta_{\vec{k}, \vec{q}}}} \int_0^{\infty} dt e^{i(\omega - ck)t} + \underbrace{\int_{-\infty}^{\infty} dt e^{-i(\vec{k} + \vec{q}) \cdot \vec{n}}}_{\sqrt{\delta_{\vec{k}, -\vec{q}}}} \int_0^{\infty} dt e^{i(\omega + ck)t} \right]$$

$$= \frac{cq}{2} \left[\frac{i}{\omega - cq + in} - \frac{i}{\omega + cq - in} \right]$$

$$\Rightarrow D^{(0)}(\vec{q}, \omega) = \boxed{\frac{(cq)^2}{\omega^2 - cq^2}}$$